

## SDNN アルゴリズムを用いたポリオミノパズルの解法とその実験 2 E-8

仲矢好政

中川 徹

北川 一

(豊田工業大学)

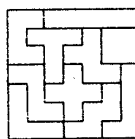
### 1. はじめに

ポリオミノパズル(以下、PP問題と略す)は、図1に示す様に、幾つかのポリオミノ(以下、P片と略す)と呼ばれる複数の正方形で構成された多角形を、与えられた盤上にP片が互いに重ならない様に配置するパズルである。

Takefujiらは、ニューラルネットワークを用いて、P片の反転と回転を許さないという条件で、図1に示すPP問題(以下、Takefuji問題とする)の解法を示した<sup>[1]</sup>。

また、本学では、集合論にもとづいたSDNN(Strictly Digital Neural Networks)が提案され<sup>[2][3]</sup>、ニューロン数約 $10^6$ 個の大規模なQueen問題の解法を示した<sup>[4]</sup>。

今回、P片の回転と反転を許さないという条件で、図1と図6に示すPP問題について、SDNNと深さ優先探索法(以下、DFSと略す)を用いて実験を行ったので、報告する。



組合せ数 : 約 $1.33 \times 10^{14}$   
 ニューロン数 : 261  
 集合数 : 59  
 解の数 : 1

図1 Takefujiらの解いたポリオミノパズル

### 2. 制約集合によるPP問題の表現

SDNNでは、問題を複数の集合によって表現し、一種の制約プログラミングを行っている。具体的には、各集合において要素n個からk個を選択するk-out-of-n設計規則<sup>[2]</sup>を用いている。

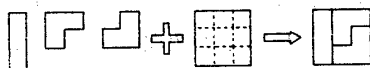


図2 3x3(n=3)ポリオミノパズルの例

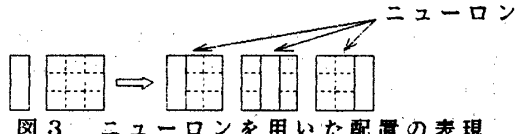


図3 ニューロンを用いた配置の表現

### 2.1 P片配置の表現方法

PP問題では、P片の盤上への置き方をニューロンで表現することができる。図2のPP問題を例にとると、左端のP片は図3に示す3通りの置き方があり、各々をニューロンで表現することになる。同様に、中央と右端のP片は、各々4個のニューロンで表現される。従って、図2のPP問題を表現するためには、11個のニューロンが必要となる。

### 2.2 制約条件のプログラミング

PP問題の解を求めるための制約条件を以下に示す。

#### (1) 盤の要素による制約条件

盤を構成する全ての正方形の要素の上でP片が互いに重なってはならない、同時に、盤を構成する全ての要素の上にP片は存在しなければならない。

図2のPP問題において、盤の左上端を例にとると、図4に示す様に盤の左上端(○印部)の要素に配置できることを示すニューロンは2個存在する。そこで、この2つのニューロンを集合でくくると、いずれか一方が選択される(1-out-of-2)。同様にして、盤の他の要素に関して集合を生成し、各々のk値とn値を決定していく。

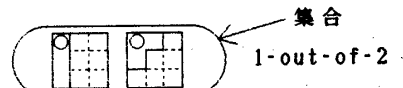


図4 盤の要素による制約条件

#### (2) P片の配置による制約条件

1つのP片は、盤への置き方が多数あっても、1度に1通りの置き方しかできない。

図2のPP問題において、左端のP片を例にとると、図5に示す様にP片の置き方を示すニューロンは3個存在する。この3つのニューロンを集合でくくると、どれか1つが選択される(1-out-of-3)。同様にして、他の全てのP片に関して集合を生成し、各々のk値とn値を決定していく。

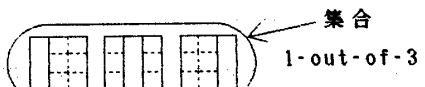


図5 ポリオミノの配置による制約条件

### 2.3 一般式で表現可能なPP問題

図6に示したPP問題(以下、一般式問題とする)は、縦×横を $n \times n$ として、P片の回転と反転を許さないという条件下で、以下に示す様に一般式で表現できる。

$$\text{組合せ数} : C_n = n^{2n} n! (n-1)!$$

$$\text{ニューロン数} : N = n(n^2 + n - 1)$$

$$\text{集合数} : S = n^2 + 2n - 1$$

$$\text{解の数} : S = 4^{n-1}$$

$$\text{問題の複雑さ} : C = C_n / S$$

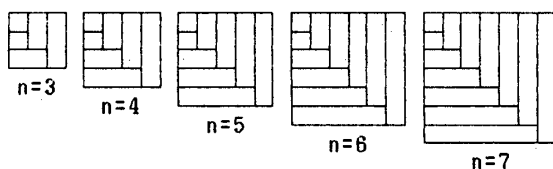


図6 一般式で表現可能なポリオミノパズル

### 3. 実験結果

#### 3.1 Takefiji問題の実験結果

表1にSDNNとDFSの各々を用いた計算機実験結果を示す(SPARC LTを使用)。以下で用いる $\tilde{T}_p$ は、文献<sup>[2][3]</sup>に述べられた、SDNNの求解に要する並列実行ステップ数の平均値であり、 $\tilde{T}_s$ は、シミュレーションに於ける1つの解当たりのCPU時間平均値である。

表1 Takefiji問題の結果

	SDNN	DFS
$\tilde{T}_p$ (steps)	11970	—
$\tilde{T}_s$ (秒)	53.5	0.46

#### 3.2 一般式問題の実験結果

図7と図8にSDNNとDFSの各々を用いた計算機実験結果を示す(SPARC LTを使用)。横軸は、図7、図8共に問題の複雑さ(以下、Cとする)を示す。縦軸は、図7では $\tilde{T}_p$ を示し、図8では $\tilde{T}_s$ を示す。

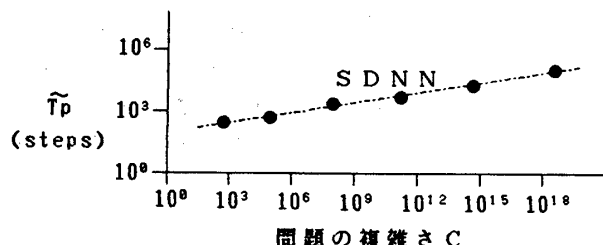


図7 平均並列実行ステップ数 $\tilde{T}_p$ 特性

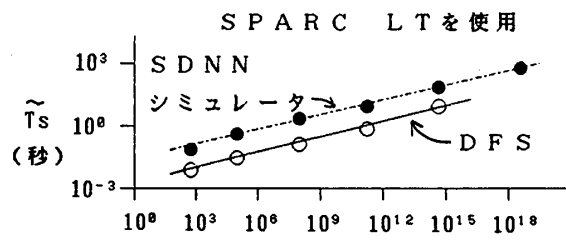


図8 平均CPU時間 $\tilde{T}_s$ 特性

#### 3.3 実験結果の考察

表1の結果の市は、原論文<sup>[1]</sup>の並列ステップ数に比べ約13倍である。その理由は、SDNNアルゴリズムはPP問題やN-Queen問題等といった複数の問題が解けるように設計されているが、原論文<sup>[1]</sup>のアルゴリズムはPP問題用に最適化されている為ではないかと考えられる。

$\tilde{T}_p$ のオーダは、図7よりCに対して $O(C^{4/25})$ となっていることがわかる。また、 $\tilde{T}_s$ のオーダは、図8よりCに対して $O(C^{6/25})$ であることがわかる。ここで、N個のニューロン各々が属する集合数をM<sub>s</sub>とすると、 $\tilde{T}_p$ 、N、M<sub>s</sub>の積のオーダは、Cに対して $O(C^{6/25})$ となり、 $\tilde{T}_s$ のオーダと一致する。従って、今回示したPP問題の解法は、使用したニューロン数のオーダ(盤の幅nに対して $O(n^3)$ )で並列動作しており、SDNNのハードウェアを用いると、ニューロンのオーダ分、低いオーダで計算できると言える。

また、図8では、SDNNシミュレータの傾きと、DFSの傾きがほぼ同等であることがわかる。従って、今回用いた集合の設定下で、SDNNがDFSを並列に実行しているとも考えられる。

#### 4. おわりに

今回示した、SDNNを用いたポリオミノパズルの解法は、梱包や型取りといった実用問題に応用が可能と考えられる。そのため、ポリオミノの回転と反転を許す条件下での評価を進めている。

#### 参考文献

- Takefiji and Lee : "A parallel algorithm for tiling problems," the IEEE Trans. on Neural Networks, 1, 1, March 1990.
- 本大会別稿参照：中川他 "SDNN:..." 文献[1]
- 本大会別稿参照：中川他 "SDNN:..." 文献[2]
- 中村, 佐竹, 中川, 北川 : "SDNN:厳密にデジタルなニューラルネットワークによるN-クイーン問題の解法," 情報処理学会第40回全国大会論文集(I), pp.140-141 1990 .